

### 3.6. Răspunsul inelastic al sistemelor SGLD

#### 3.6.1. Introducere

Conform practicii actuale, majoritatea structurilor sunt proiectate pentru forțe seismice inferioare celor care ar asigura un răspuns elastic în timpul unui cutremur major. Această abordare are la baza două rațiuni:

- pentru multe tipuri de construcții civile este în general neeconomică proiectarea structurilor în domeniul elastic din încărcarea seismică
- în trecut, structurile proiectate pentru forțe mai mici decât cele care ar fi asigurat un răspuns elastic, au supraviețuit unor cutremure majore

Astfel, majoritatea structurilor vor suferi deformații inelastice sub acțiunea unui cutremur major. De aceea, este importantă înțelegerea comportării seismice a sistemelor inelastice. În Figura 3.13a este prezentată comportarea reală a unui sistem inelastic și idealizarea elasto-plastică a acestuia. Una dintre modalitățile de determinare a curbei elasto-plastice idealizate este prin egalarea ariilor sub curba reală și cea idealizată până la **deplasarea maximă**  $u_m$ . Un sistem elasto-plastic are un comportament liniar elastic cu rigiditatea  $k$  până la atingerea **forței de curgere**  $f_y$  la **deplasarea de curgere**  $u_y$ , după care structura se deformează la o forță constantă  $f_y$  (rigiditatea fiind zero). Un sistem elasto-plastic acționat de o mișcare seismică va avea un comportament ciclic, reprezentat schematic în Figura 3.13b.

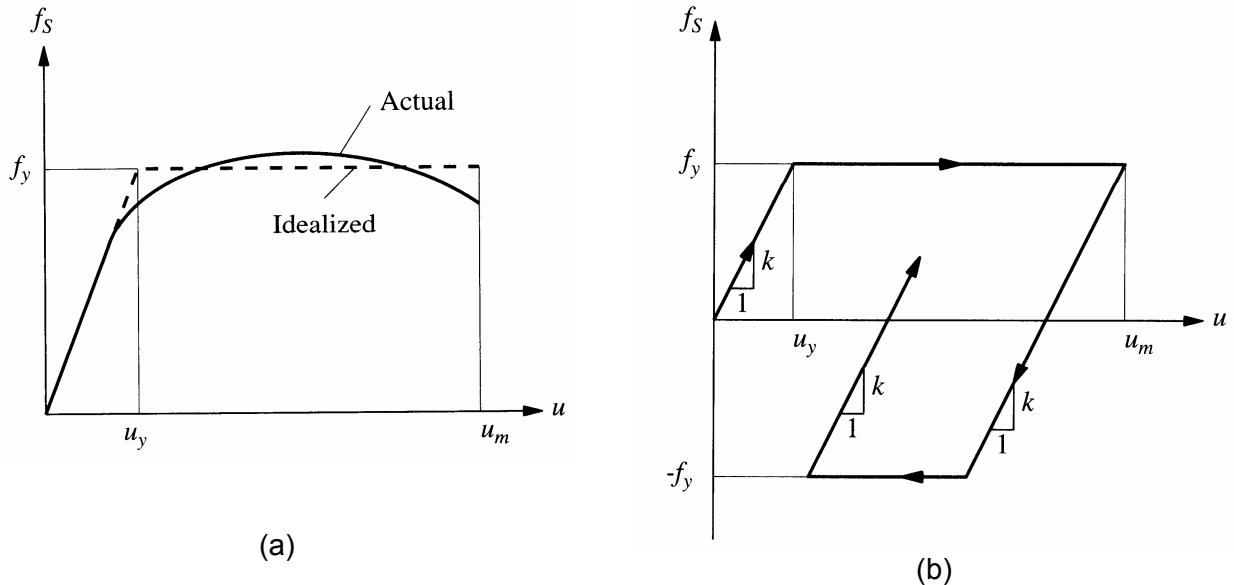


Figura 3.13. Relația forță-deplasare pentru un sistem inelastic: comportarea reală și idealizarea acesteia (a); relația forță-deplasarea ciclică pentru un sistem elasto-plastic (b), Chopra, 2001.

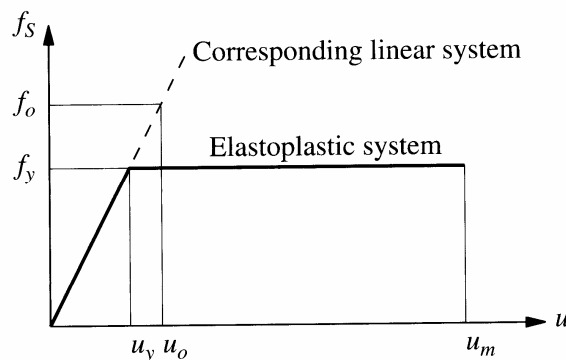


Figura 3.14. Sistemul elasto-plastic și corespondentul său elastic (Chopra, 2001).

Pentru a înțelege răspunsul seismic al unui sistem SGLD elasto-plastic, este utilă comparația acestuia cu răspunsul unui **sistem corespunzător elastic**. Acest sistem are aceeași rigiditate inițială cu cea a sistemului elasto-plastic, precum și aceeași amortizare și masă (vezi Figura 3.14). În consecință, cele două sisteme vor avea aceeași perioadă proprie de vibrație (doar pentru deformații mici, perioada proprie de vibrație a sistemului inelastic nefiind definită după curgere).

Pentru a caracteriza răspunsul inelastic pot fi introduse câteva notații: **forța de curgere normalizată**  $\bar{f}_y$ , **factorul de reducere al forței de curgere**  $R_y$ , și **factorul de ductilitate**  $\mu$ .

$$\bar{f}_y = \frac{f_y}{f_0} = \frac{u_y}{u_0} \quad (3.12)$$

$$R_y = \frac{f_0}{f_y} = \frac{u_0}{u_y} = \frac{1}{\bar{f}_y} \quad (3.13)$$

$$\mu = \frac{u_m}{u_y} \quad (3.14)$$

unde  $f_0$  și  $u_0$  sunt valorile de vârf ale forței și deplasării în sistemul elastic corespunzător. Mărimea  $f_0$  poate fi interpretată ca și valoarea minimă a forței de curgere  $f_y$  necesară pentru a asigura un răspuns elastic al unui sistem SGLD. Dacă forța de curgere normalizată este subunitară, sistemul SGLD va suferi deformații plastice. Factorul de reducere al forței de curgere este valoarea inversă a forței de curgere normalizate. Astfel, un sistem va suferi deformații inelastice dacă  $R_y > 1$ . Factorul de ductilitate este supraunitar pentru sisteme care au depășit deplasarea de curgere și este o măsură adimensională a gradului de deformare inelastică a sistemului.

Ecuția de mișcare pentru un sistem SGLD inelastic sub efectul mișcării seismice este:

$$m\ddot{u} + c\dot{u} + f_s(u, \dot{u}) = -m\ddot{u}_g \quad (3.15)$$

Împărțind ecuația (3.15) cu  $m$  obținem:

$$\ddot{u} + 2\zeta\omega_n\dot{u} + \omega_n^2 u_y \tilde{f}_s(u, \dot{u}) = -\ddot{u}_g \quad (3.16)$$

unde  $\tilde{f}_s(u, \dot{u}) = f_s(u, \dot{u})/f_y$ . Ecuția (3.16) demonstrează că, pentru o mișcare seismică  $\ddot{u}_g(t)$  dată, răspunsul seismic al unui sistem SGLD inelastic depinde de pulsația proprie de vibrație  $\omega_n$ , fracțiunea din amortizarea critică  $\zeta$ , deplasarea de curgere  $u_y$  și forma relației forță-deplasare  $\tilde{f}_s(u, \dot{u})$ .

### 3.6.2. Efectul comportării elasto-plastice

În Figura 3.15 sunt prezentate patru sisteme SGLD cu aceeași perioadă proprie de vibrație ( $T_n=0.5$  sec), amortizare ( $\zeta=5\%$ ), dar cu forțe de curgere diferite ( $\bar{f}_y=1.0, 0.5, 0.25, 0.125$ ), supuse accelerogramei El Centro. Primul dintre acestea ( $\bar{f}_y=1.0$ ) reprezintă un sistem liniar elastic, celelalte trei reprezentând sisteme elasto-plastice cu forțe de curgere descrescătoare ( $\bar{f}_y=0.5, 0.25, 0.125$ ).

Sistemul liniar elastic oscilează față de poziția de echilibru inițială, având o deplasare de vârf de 2.25 țoli. Datorită amortizării, după încetarea mișcării seismice oscilațiile încetează, deformația permanentă  $u_p=0$ .

Sistemele inelastice intră în curgere ca urmare a oscilațiilor induse de mișcarea seismică. Cu cât forța de curgere este mai mică, cu atât sistemele intră în curgere mai des și pentru perioade mai lungi de timp. Datorită curgerii, sistemele inelastice sunt deplasate față de poziția de echilibru inițială, sistemul oscilând față de o nouă poziție de echilibru. Datorită acestui fenomen, sistemele inelastice nu revin la poziția inițială după încetarea oscilațiilor, ci au o deformație permanentă  $u_p \neq 0$ . Această deformație permanentă este în general cu atât mai mare, cu cât forța de curgere a

sistemului este mai mică. Astfel, o structură care a suferit deformații plastice în urma unui cutremur de pământ s-ar putea să aibă o poziție deviată de la verticală după încetarea mișcării seismice. Pentru acest exemplu concret (accelerograma El Centro și un sistem cu  $T_n=0.5$ ) deplasarea de vârf a sistemelor inelastice este mai mică decât deplasarea de vârf a sistemului elastic. Acest aspect nu are un caracter general, deplasarea de vârf a sistemelor inelastice fiind afectate într-o mare măsură de perioada proprie de vibrație  $T_n$  și caracteristicile mișcării seismice, și într-o mai mică măsură de amortizare.

Factorul de ductilitate poate fi determinat folosind ecuația (3.14). Pentru sistemul cu  $\bar{f}_y=0.25$ , factorul de ductilitate este egal cu 3.11 și reprezintă **cerința de ductilitate** impusă sistemului. Pentru ca un sistem inelastic să nu cedeze, cerința de ductilitate impusă de o mișcare seismică trebuie să fie mai mică decât **ductilitatea capabilă**.

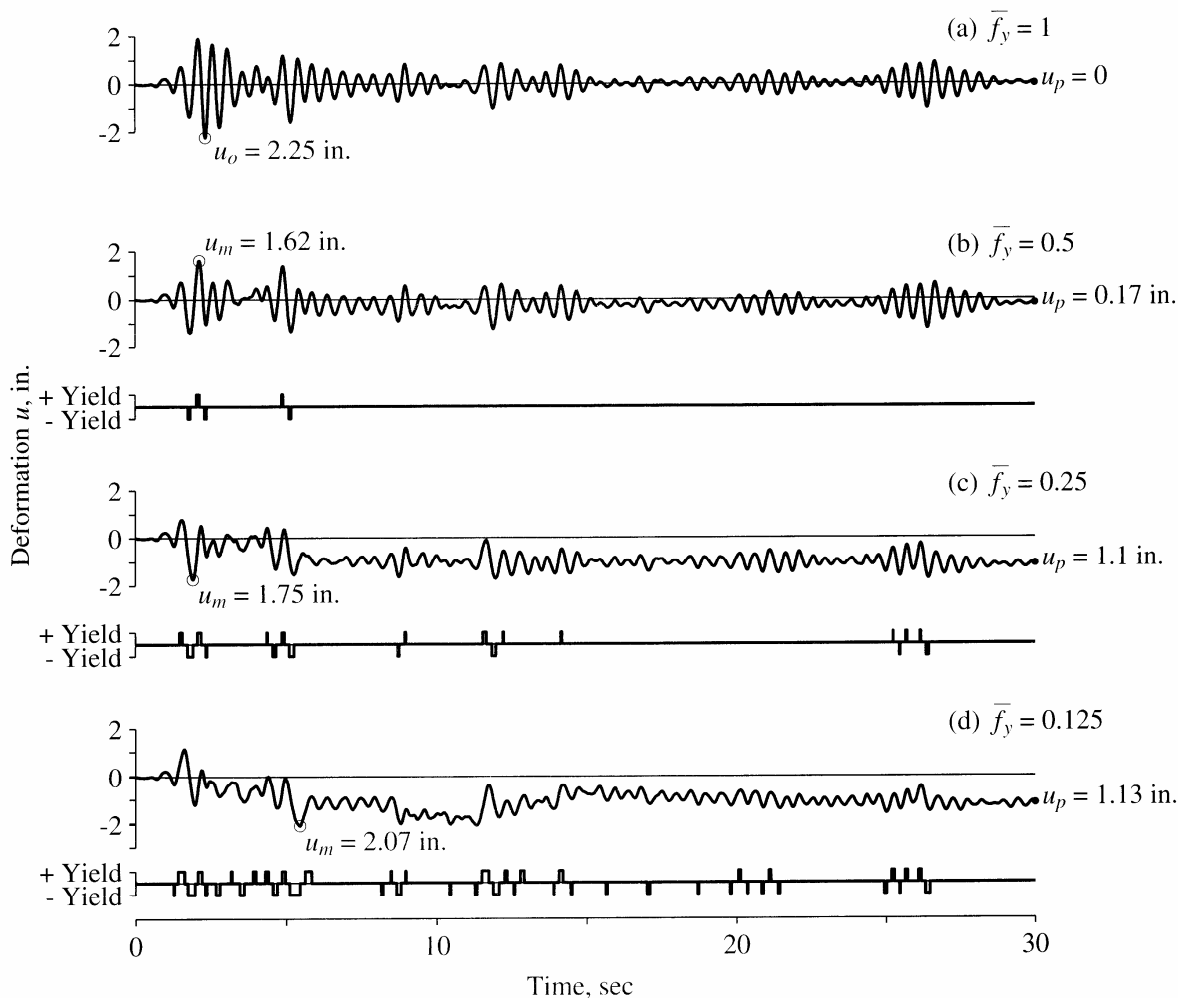


Figura 3.15. Răspunsul seismic a patru sisteme SGLD cu  $T_n=0.5$  sec,  $\zeta=5\%$  și  $\bar{f}_y=1.0, 0.5, 0.25, 0.125$  sub acțiunea înregistrării El Centro (Chopra, 2001).

### 3.6.3. Relația dintre ductilitate $\mu$ factorul de reducere $R_y$

Raportul între deplasarea de vârf a sistemului inelastic și cea a sistemului elastic corespunzător  $u_m/u_o$  este exemplificată în Figura 3.16 pentru patru sisteme SGLD cu  $T_n=0.5$  sec,  $\zeta=5\%$  și  $\bar{f}_y=1.0, 0.5, 0.25, 0.125$  sub acțiunea înregistrării El Centro. Pot fi evidențiate următoarele observații pentru diverse perioade proprii de vibrație:

- Pentru sisteme foarte flexibile ( $T_n > T_f$ ) deplasarea de vârf a sistemului inelastic  $u_m$  este independentă de  $\bar{f}_y$  și este apropiată de deplasarea de vârf a sistemului elastic corespunzător  $u_o$ .

- Pentru sisteme cu perioade proprii de vibrație în domeniile de sensibilitate la viteză și deplasare ( $T_n > T_c$ ) deplasarea de vârf a sistemului inelastic  $u_m$  variază funcție de  $\bar{f}_y$  și poate fi mai mică sau mai mare decât deplasarea de vârf a sistemului elastic corespunzător  $u_0$ .
- Pentru sisteme cu perioade proprii de vibrație în domeniul de sensibilitate la accelerație ( $T_n < T_c$ ) deplasarea de vârf a sistemului inelastic  $u_m$  este apreciabil mai mare decât deplasarea de vârf a sistemului elastic corespunzător  $u_0$ , raportul  $u_m/u_0$  fiind mai mare pentru valori mai mici ale  $\bar{f}_y$ .

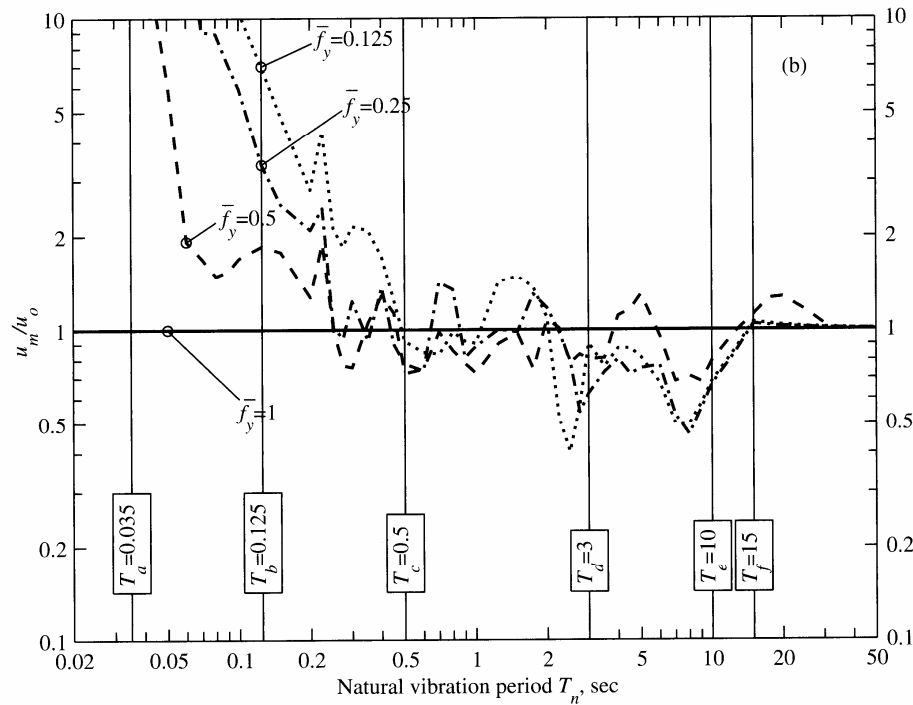


Figura 3.16. Raportul  $u_m/u_0$  pentru patru sisteme SGLD cu  $T_n=0.5$  sec,  $\zeta=5\%$  și  $\bar{f}_y=1.0, 0.5, 0.25, 0.125$  sub acțiunea înregistrării El Centro (Chopra, 2001).

Pe baza observațiilor anterioare, au fost propuse diverse idealizări care să poată fi aplicate în practica curentă de proiectare. Astfel, pentru sisteme SGLD inelastice având perioada proprie în domeniul sensibil la viteză și deplasare, se poate considera că deplasarea de vârf a sistemului inelastic este egală cu deplasarea de vârf a sistemului elastic corespunzător ( $u_m/u_0=1$ ), principiu cunoscut sub denumirea de "deplasări egale", vezi (Figura 3.17a). Pentru acest caz se poate arăta că  $R_y = \mu$ . Pentru sisteme cu perioada proprie de vibrație în domeniul de sensibilitate la accelerație, este acceptat principiul "energiilor egale", ceea ce implică egalitatea dintre aria de sub curba forță-deplasare a sistemului elastic cu aria de sub curba forță-deplasare a sistemului inelastic (Figura 3.17b), raportul  $u_m/u_0$  rezultând supraunitar. În acest caz se poate arăta că  $R_y = \sqrt{2\mu - 1}$ . Pentru sisteme cu perioada proprie de vibrație foarte mică ( $T_n < T_a$ ) deformațiile sunt foarte mici, sistemul având un comportament în esență elastic, rezultând  $R_y=1$ . Relația dintre factorul de reducere  $R_y$ , perioada proprie de vibrație  $T_n$  și ductilitatea  $\mu$  este exprimată sintetic în următoarea relație:

$$R_y = \begin{cases} 1 & T_n < T_a \\ \sqrt{2\mu - 1} & T_b < T_n < T_c \\ \mu & T_n > T_c \end{cases} \quad (3.17)$$

Pentru determinarea factorului de reducere  $R_y$  între  $T_a$  și  $T_b$ , respectiv  $T_c'$  și  $T_c$  se folosește interpolarea liniară. Relația (3.17) este reprezentată grafic în Figura 3.18 și exprimă valoarea factorului de reducere  $R_y$  care poate fi folosit la proiectarea unei structuri cu perioada proprie de vibrație  $T_n$  și care posedă o capacitate de ductilitate  $\mu$  dată. Aceiași relație poate fi interpretată și

ca cerința de ductilitate  $\mu$  a unui sistem cu perioada proprie de vibrație  $T_n$  caracterizată de un factor de reducere  $R_y$  dat.

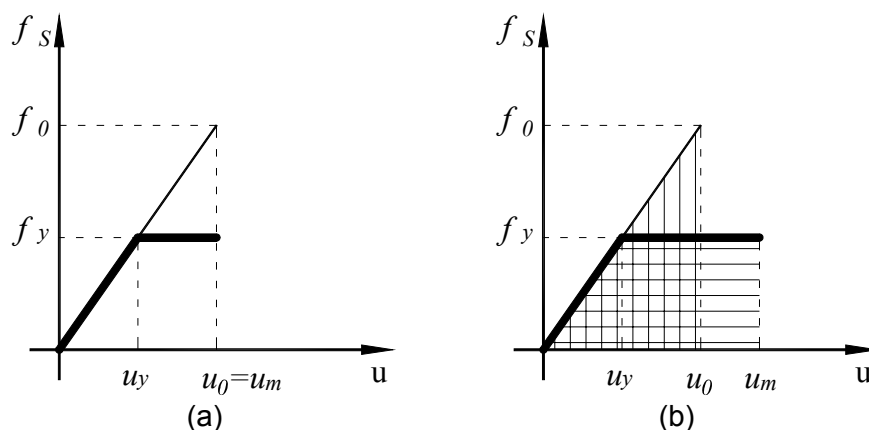


Figura 3.17. Principiul "deplasărilor egale" (a) și cel al "energiilor egale" (b) în relația dintre deplasarea de vârf a unui sistem inelastic și a sistemului elastic corespunzător.

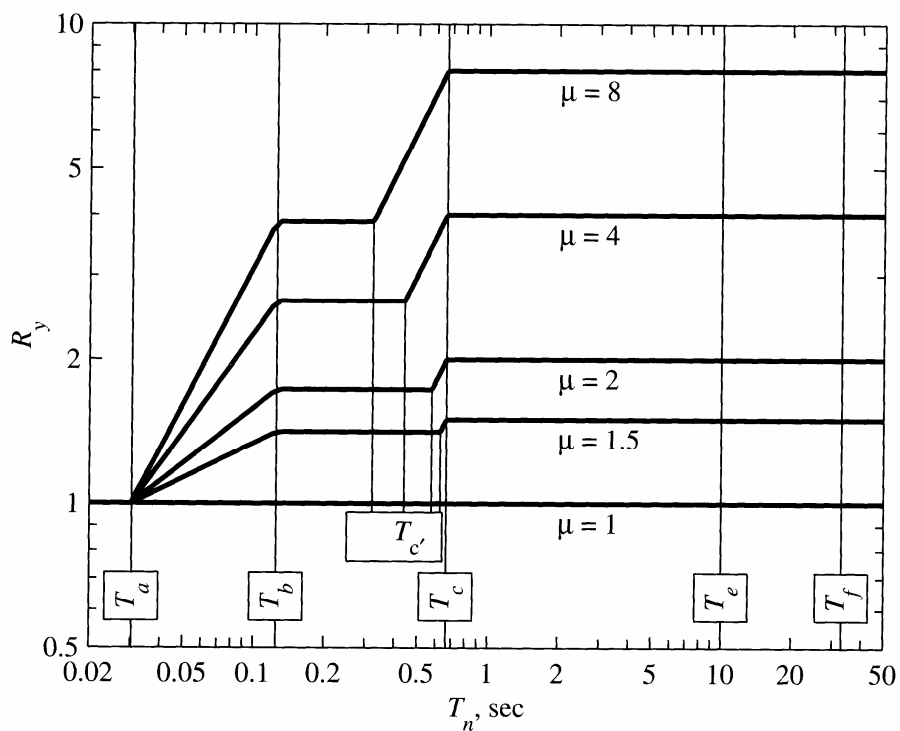


Figura 3.18. Relația idealizată între factorul de reducere  $R_y$  și ductilitate  $\mu$  (Chopra, 2001).

### 3.7. Factorii care influențează mișcarea seismică

Principali factori care influențează mișcarea seismică într-un amplasament pot fi grupați în patru categorii: (1) factori de sursă, (2) propagarea undelor seismice, (3) factori locali de amplasament, (4) interacțiunea teren-structură (vezi Figura 3.19).

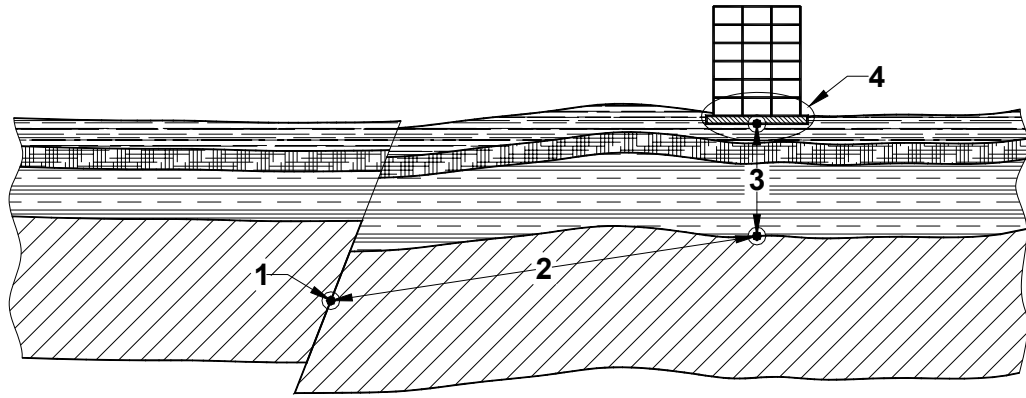


Figura 3.19. Principali factorii ce caracterizează mișcarea seismică într-un amplasament (1 – factori de sursă; 2 – efectul propagării undelor seismice; 3 – factorii de amplasament; 4 – interacțiunea teren-structură).

### 3.7.1. Factorii de sursă

Factorii de sursă includ tipul de regim tectonic (cutremure inter-placă sau intra-placă), magnitudinea cutremurului, cât și tipul de falie (transcurentă, normală, inversă, oblică), precum și fenomenul de directivitate pentru cutremurele locale.

### 3.7.2. Factorii de propagare

Propagarea energiei emise de o sursă seismică are loc prin intermediul undelor de volum (P și S), care pot fi directe, reflectate și refractate, și a undelor de suprafață (Rayleigh și Love). Înregistrarea efectuată într-un amplasament dat depinde de adâncimea focarului, distanța sursă-receptor și structura geologică dintre acestea și este afectată de reflexiile și refracțiile multiple, difracțiile și interferențele diferitelor tipuri de unde, împrăștierea, disiparea și dispersarea undelor seismice. Odată cu creșterea distanței dintre sursă și amplasament intensitatea mișcării seismice scade, iar durata acesteia crește. Componenta verticală a mișcării seismice scade cu distanța și de cele mai multe ori poate fi neglijată în calcul pentru cutremurele îndepărtate, dar poate fi importantă în cazul cutremurelor locale.

### 3.7.3. Factorii de amplasament

Mișcarea seismică reală dintr-un amplasament dat va diferi însă substanțial de cea determinată pentru roca de bază, funcție de condițiile geotehnice locale, efectele de bazin și topografie. Schematic, straturile de teren de sub construcție acționează ca și un oscilator dinamic (Figura 3.20), modificând mișcarea de la nivelul rocii de bază funcție de caracteristicile liniare și neliniare ale acestuia. Parametri cheie care guvernează amplificarea/deamplificarea mișcării terenului sunt: grosimea, modulul de elasticitate, amortizarea și viteza undelor de forfecare a stratului de teren moale, impedanța teren/rocă, stratificarea și proprietățile stratului de teren de la interfața între terenul moale și roca de bază.

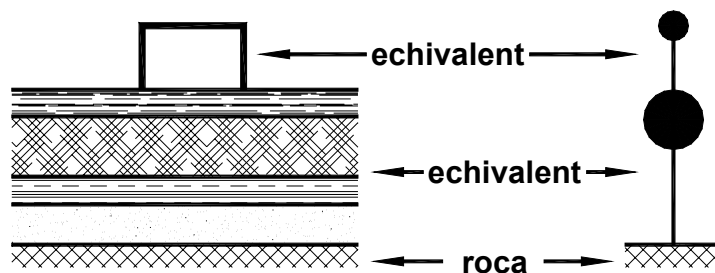


Figura 3.20. Idealizarea straturilor de teren cu un oscilator dinamic, după Whittaker, n.d.

Influența tipului de teren asupra formei spectrului de răspuns al pseudo-accelerației este prezentată în Figura 3.21, conform unor studii statistice efectuate de către Seed și colab. pe un set de 104 accelerograme înregistrate în SUA, Japonia și Turcia. Pe baza acestor rezultate pot fi evidențiate două aspecte ale influenței terenului asupra spectrului de răspuns:

- În raport cu roca de bază, terenurile rigide și cele necoezive sunt caracterizate de o amplificare mai mare a accelerației de vârf a terenului (pseudo-accelerații mai mari în zona de pseudo-accelerație constantă), cât și de o creștere moderată a perioadei de colț  $T_c$ .
- În raport cu roca de bază, terenurile moi sunt caracterizate de o amplificare redusă a accelerației de vârf a terenului, dar de o creștere substanțială a perioadei de colț  $T_c$ , ceea ce echivalează cu ordonate spectrale ridicate pentru structuri cu perioade proprii de vibrație  $T_n > 0.5$  sec.

În cele mai multe cazuri amplificarea maximă a răspunsului are loc la perioade apropiate de perioada predominantă de vibrație a stratului de teren moale.

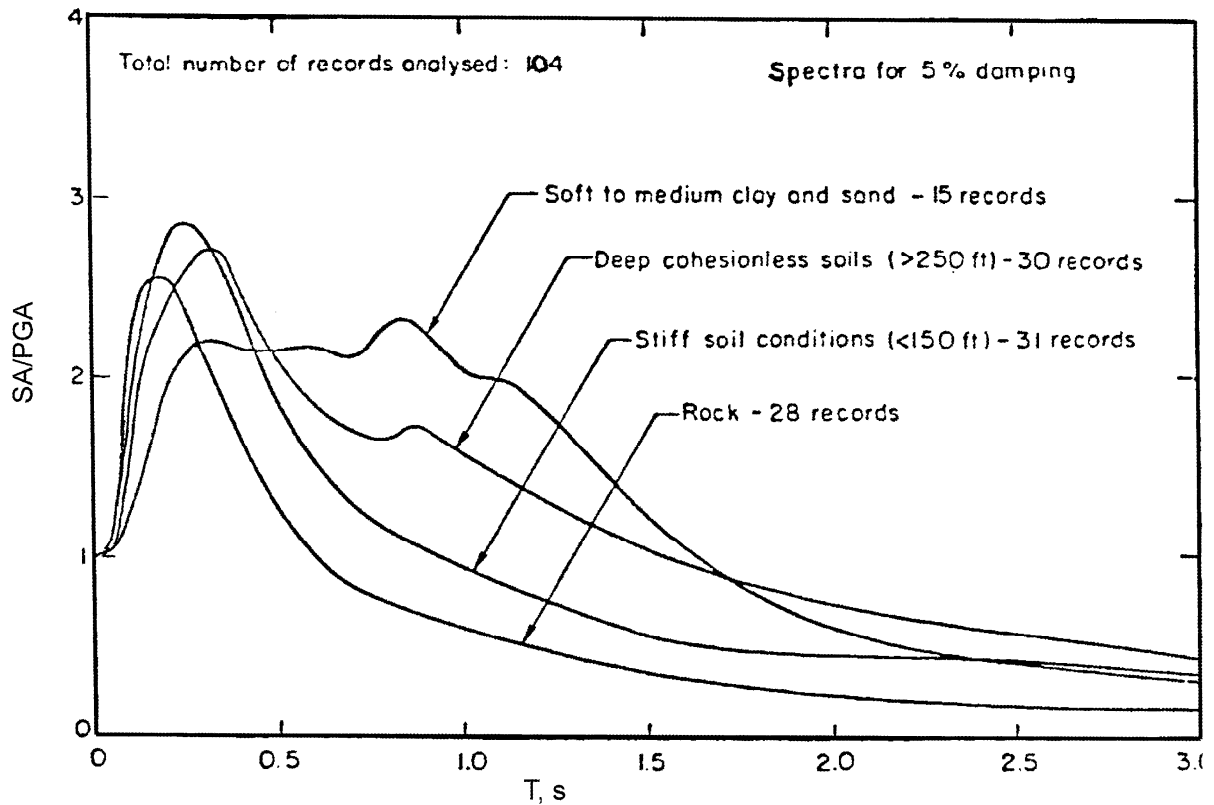


Figura 3.21. Spectre normalizate ale pseudo-accelerației pentru diferite tipuri de teren, după Seed și colab., 1976, în NEHRP 2000.

O mare parte din efectele unui amplasament asupra caracteristicilor mișcării seismice pot fi explicate prin răspunsul dinamic al straturilor superficiale de teren, presupunând o stratificare orizontală și folosind un model 1-D de propagare a undelor (vezi Figura 3.22a). Unda incidentă poate să rezoneze în stratul de teren, dar o parte din energie este refractată, limitând efectele amplificării undelor seismice. În cazul unor structuri geologice sedimentare de tip bazin (vezi Figura 3.22b), straturile de teren nu sunt orizontale. Dacă unda seismică intră în bazin prin muchia acestuia, se pot dezvolta unghiuri incidente post-critice, ceea ce duce la "captarea" undei în interiorul bazinului. Efectele unor reflexii multiple sunt amplificarea și creșterea duratei mișcării seismice. Modelarea acestor efecte necesită o analiză 2-D sau 3-D.

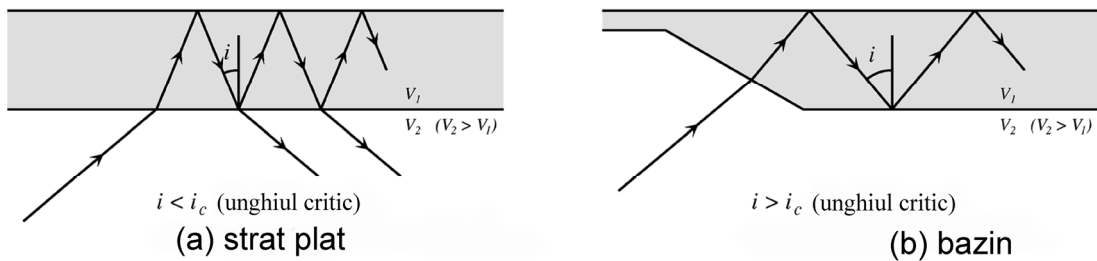


Figura 3.22. Reprezentare schematică a efectului de bazin, după Graves, 1993, în Stewart și colab., 2001.

Amplificări ale mișcării seismice pot apărea și în cazul unor suprafețe topografice neregulate, cum ar fi creasta, canionul și panta. Un exemplu caracteristic de amplificare a mișcării seismice de către o topografie de tip pantă a fost descris de către Castellani și colab. (vezi Figura 3.23). Astfel, degradările unei localități italiene la cutremurul din Irpinia (1980) au fost mult mai pronunțate în apropiere de coama pantei, față de zonele mai îndepărtate de aceasta.

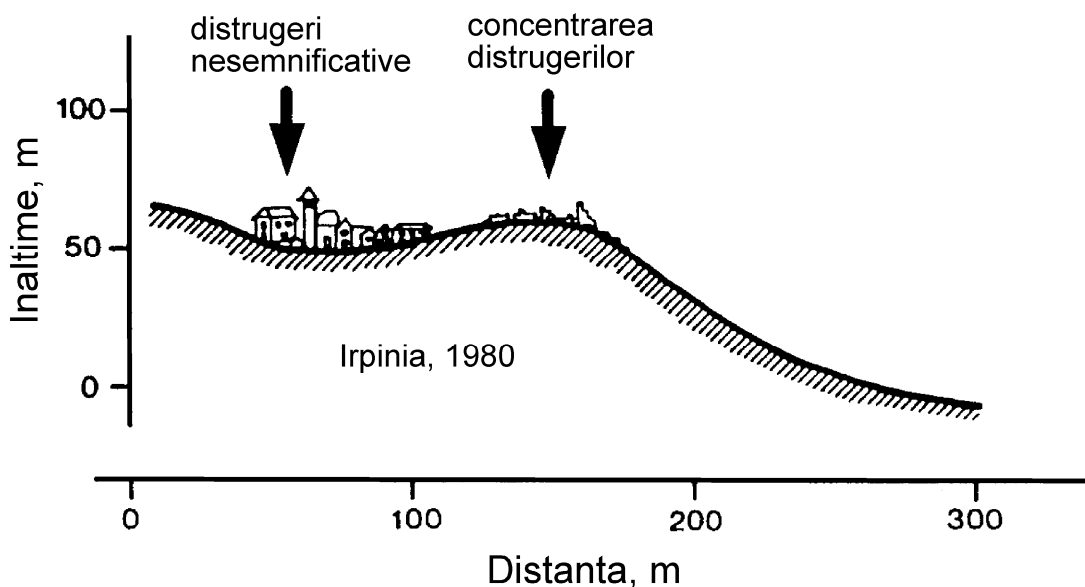


Figura 3.23. Efectul topografiei asupra distribuției distrugerilor în cazul cutremurului Irpinia 1980, după Castellani și colab, 1982, în Athanasopoulos și colab., 1998.

### 3.7.4. Interacțiunea teren structură

Mișcarea seismică afectată de factorii de sursă, de propagare și de amplasament reprezintă așa numita mișcare în câmp liber. Răspunsul unei structuri la o mișcare seismică de tip câmp liber este afectată de interacțiunea teren structură. În esență, acest fenomen modifică atât proprietățile dinamice ale structurii, cât și caracteristicile mișcării seismice la nivelul fundației. Cauza fenomenului este constituită de flexibilitatea terenului sub acțiunea unei excitații dinamice. Pentru structuri amplasate pe terenuri deformabile, mișcarea seismică la nivelul fundației este în general diferită de cea în câmp liber, conținând o importantă componentă de rotație, pe lângă componenta de translație. Componenta de rotație și interacțiunea teren-structură în general, au efecte importante pentru structurile rigide situate pe terenuri flexibile. Un alt efect al fenomenului de interacțiune teren-structură îl reprezintă disiparea energiei de vibrație către mediul de fundare, prin radiația undelor și răspunsul nelinier al trenului. Astfel, pot fi distinse două mecanisme de interacțiune între structură, fundație și teren:

- Interacțiunea inerțială: inerția dezvoltată în structură din cauză oscilațiilor creează forța tăietoare și momentul la bază, care la rândul lor generează deplasări ale fundației față de terenul liber. Interacțiunea inerțială are ca efect creșterea perioadei proprii de vibrație a



structurii din cauza flexibilității terenului de fundare și o modificare (de obicei creștere) a amortizării terenului, din cauza disipării energiei prin radiație și răspuns neliniar al terenului.

- Interacțiunea cinematică: prezența elementelor rigide ale fundației pe, sau în teren duce la modificarea mișcării de la cea din câmpul liber, ca și rezultat al incoerenței mișcării seismice sau înglobării fundației. Interacțiunea cinematică are ca efect reducerea componentei de translație a mișcării, dar o creștere a celor de torsiune și rotire, precum și filtrarea frecvențelor înalte ale mișcării seismice.

Pentru structurile obișnuite interacțiunea inerțială are efectele cele mai pronunțate asupra ansamblului teren-structură. În cazul unor sisteme cu un singur grad de libertate dinamică efectele interacțiunii teren-structură pot fi evaluate folosind un sistem echivalent cu perioada și coeficientul de amortizare modificate, pentru a ține cont de prinderea flexibilă în fundație și amortizarea terenului de fundare.

## 4. Sisteme cu mai multe grade de libertate dinamică

### 4.1. Ecuații de mișcare, formularea problemei, metode de rezolvare

O structură poate fi idealizată ca și un ansamblu de elemente (rigle, stâlpi, pereți, etc.) interconectate în noduri (vezi Figura 4.1a). Deplasările nodurilor reprezintă gradele de libertate (GLD). În general, într-o problemă plană un nod are trei GLD: două deplasări de nod și o rotire. Într-o problemă spațială, un nod are în general 6 GLD: trei deplasări de nod și trei rotații de nod.

Un cadru plan cu două deschideri și două nivele are 18 GLD (vezi Figura 4.1a). Ținând cont de faptul că deformațiile axiale ale elementelor pot fi neglijate de cele mai multe ori pentru cadre cu înălțime redusă, numărul de GLD pentru acest cadru poate fi redus la doar 8 (vezi Figura 4.1b). Forțele dinamice (momente și forțe) sunt aplicate în noduri (vezi Figura 4.2), momentele  $p_3(t)$  la  $p_8(t)$  fiind egale cu zero în cele mai multe cazuri practice.

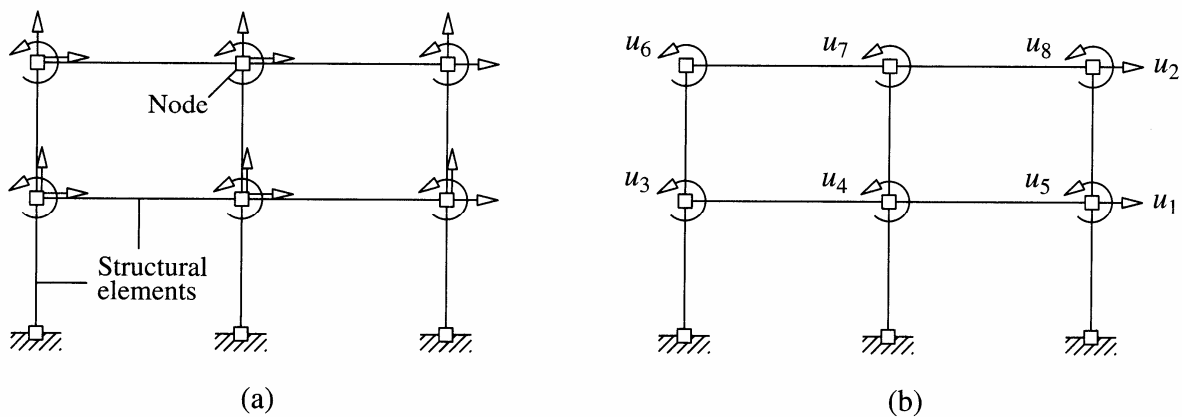


Figura 4.1. Grade de libertate: inclusiv deformațiile axiale: 18 GLD (a), deformațiile axiale neglijate: 8 GLD (b), Chopra, 2001.

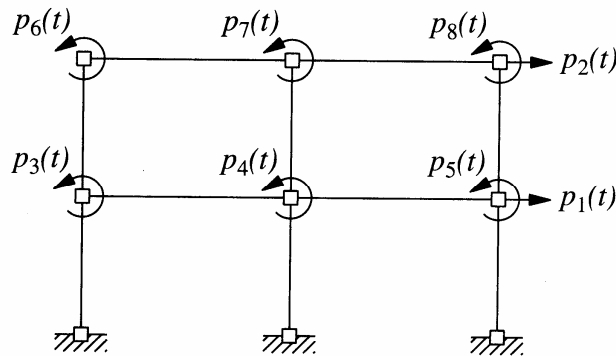


Figura 4.2. Forțe dinamice  $p(t)$  aplicate în noduri.

#### 4.1.1. Forțele elastice

Deplasările nodurilor  $u_j$  sunt în relație cu forțele nodale  $f_{Sj}$  (vezi Figura 4.3a). Pentru sisteme liniare forțele nodale pot fi determinate pe baza principiului suprapunerii efectelor și a coeficienților de rigiditate. Dacă se blochează toate gradele de libertate și se impune o deplasare unitară pe direcția gradului de libertate  $j$ , vor fi generate forțe pe direcția gradelor de libertate considerate, pentru a menține structura în echilibru static. **Coeficientul de rigiditate**  $k_{ij}$  este forța pe direcția gradului de libertate  $i$  datorată unei deplasări unitare de-a lungul gradului de libertate  $j$ . Spre exemplu, în Figura 4.3b sunt prezentate forțele  $k_{i1}$  ( $i=1, 2, \dots, 8$ ) necesare păstrării echilibrului în cazul impunerii unei deplasări unitare  $u_1=1$ . Cu toate că toate forțele  $k_{ij}$  din Figura 4.3 sunt

reprezentate cu semnele lor pozitive, unele dintre acestea vor fi negative pentru a fi compatibile cu deplasările impuse.

Cunoscând coeficienții de rigiditate  $k_{ij}$ , forțele nodale  $f_{Si}$  pe direcția gradului de libertate  $i$ , asociate deplasării  $u_j$ ,  $j=1, 2, \dots, N$  sunt obținute folosind principiul suprapunerii efectelor (vezi Figura 4.3a):

$$f_{Si} = k_{i1}u_1 + k_{i2}u_2 + \dots + k_{ij}u_j + \dots + k_{iN}u_N \quad (4.1)$$

Ecuțiile corespunzătoare  $i=1, 2, \dots, N$  pot fi scrise în formă matriceală:

$$\begin{bmatrix} f_{S1} \\ f_{S2} \\ \vdots \\ f_{SN} \end{bmatrix} = \begin{bmatrix} k_{11} & k_{12} & \dots & k_{1j} & \dots & k_{1N} \\ k_{21} & k_{22} & \dots & k_{2j} & \dots & k_{2N} \\ \vdots & \vdots & & \vdots & & \vdots \\ k_{N1} & k_{N2} & \dots & k_{Nj} & \dots & k_{NN} \end{bmatrix} \begin{Bmatrix} u_1 \\ u_2 \\ \vdots \\ u_N \end{Bmatrix} \quad (4.2)$$

sau, în formă compactă:

$$[f_s] = [k]\{u\} \quad (4.3)$$

unde  $[k]$  este matricea de rigiditate a structurii, care este o matrice simetrică ( $k_{ij}=k_{ji}$ ).

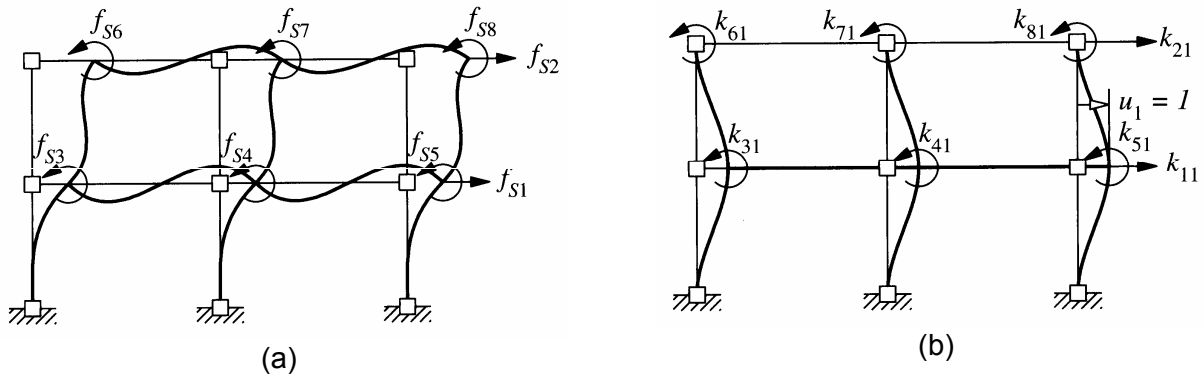


Figura 4.3. Componenta de rigiditate ale cadrului (a), coeficienții de rigiditate pentru  $u_j=1$  (b), Chopra, 2001.

#### 4.1.2. Forțele de amortizare

În mod similar cu matricea de rigiditate poate fi determinată și matricea de amortizare. Astfel, dacă se blochează toate gradele de libertate și se impune o viteză unitară pe direcția gradului de libertate  $j$ , vor fi generate forțe pe direcția gradelor de libertate considerate, pentru a menține structura în echilibru static. **Coefficientul de amortizare**  $c_{ij}$  este forța pe direcția gradului de libertate  $i$  datorată unei viteze unitare de-a lungul gradului de libertate  $j$ .

Cunoscând coeficienții de amortizare  $c_{ij}$ , forțele nodale  $f_{Di}$  pe direcția gradului de libertate  $i$ , asociate vitezei  $\dot{u}_j$ ,  $j=1, 2, \dots, N$  sunt obținute folosind principiul suprapunerii efectelor (vezi Figura 4.4):

$$f_{Di} = c_{i1}\dot{u}_1 + c_{i2}\dot{u}_2 + \dots + c_{ij}\dot{u}_j + \dots + c_{iN}\dot{u}_N \quad (4.4)$$

Ecuțiile corespunzătoare  $i=1, 2, \dots, N$  pot fi scrise în formă matriceală:

$$\begin{bmatrix} f_{D1} \\ f_{D2} \\ \vdots \\ f_{DN} \end{bmatrix} = \begin{bmatrix} c_{11} & c_{12} & \dots & c_{1j} & \dots & c_{1N} \\ c_{21} & c_{22} & \dots & c_{2j} & \dots & c_{2N} \\ \vdots & \vdots & & \vdots & & \vdots \\ c_{N1} & c_{N2} & \dots & c_{Nj} & \dots & c_{NN} \end{bmatrix} \begin{Bmatrix} \dot{u}_1 \\ \dot{u}_2 \\ \vdots \\ \dot{u}_N \end{Bmatrix} \quad (4.5)$$

sau, în formă compactă:

$$[f_D] = [c]\{\dot{u}\} \quad (4.6)$$

unde  $[c]$  este matricea de amortizare a structurii.

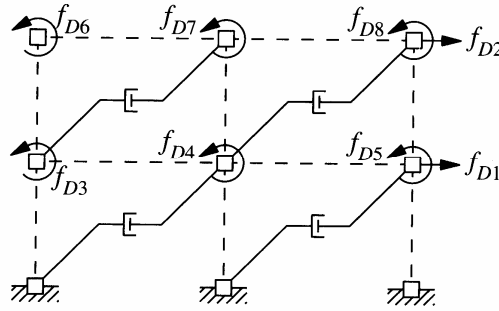


Figura 4.4. Componenta de amortizare ale cadrului (Chopra, 2001).

### 4.1.3. Forțele de inerție

Astfel, dacă se blochează toate gradele de libertate și se impune o accelerație unitară pe direcția gradului de libertate  $j$ , conform principiului lui D'Alambert vor fi generate forțe de inerție pe direcția gradelor de libertate considerate, pentru a menține structura în echilibru. **Coefficientul masei**  $m_{ij}$  este forța pe direcția gradului de libertate  $i$  datorată unei accelerații unitare de-a lungul gradului de libertate  $j$ . Spre exemplu, în Figura 4.5b sunt prezentate forțele  $m_{i1}$  ( $i=1, 2, \dots, 8$ ) necesare păstrării echilibrului în cazul impunerii unei accelerații unitare  $\ddot{u}_1 = 1$ .

Cunoscând coeficienții maselor  $m_{ij}$ , forțele nodale  $f_{ij}$  pe direcția gradului de libertate  $i$ , asociate accelerației  $\ddot{u}_j$ ,  $j=1, 2, \dots, N$  sunt obținute folosind principiul suprapunerii efectelor (vezi Figura 4.5a):

$$f_{i1} = m_{i1}\ddot{u}_1 + m_{i2}\ddot{u}_2 + \dots + m_{ij}\ddot{u}_j + \dots + m_{iN}\ddot{u}_N \quad (4.7)$$

Ecuțiile corespunzătoare  $i=1, 2, \dots, N$  pot fi scrise în formă matriceală:

$$\begin{bmatrix} f_{11} \\ f_{12} \\ \vdots \\ f_{iN} \end{bmatrix} = \begin{bmatrix} m_{11} & m_{12} & \dots & m_{1j} & \dots & m_{1N} \\ m_{21} & m_{22} & \dots & m_{2j} & \dots & m_{2N} \\ \vdots & \vdots & & \vdots & & \vdots \\ m_{N1} & m_{N2} & \dots & m_{Nj} & \dots & m_{NN} \end{bmatrix} \begin{Bmatrix} \ddot{u}_1 \\ \ddot{u}_2 \\ \vdots \\ \ddot{u}_N \end{Bmatrix} \quad (4.8)$$

sau, în formă compactă:

$$[f_I] = [m]\{\ddot{u}\} \quad (4.9)$$

unde  $[m]$  este matricea masei structurii, care este o matrice simetrică ( $m_{ij} = m_{ji}$ ).

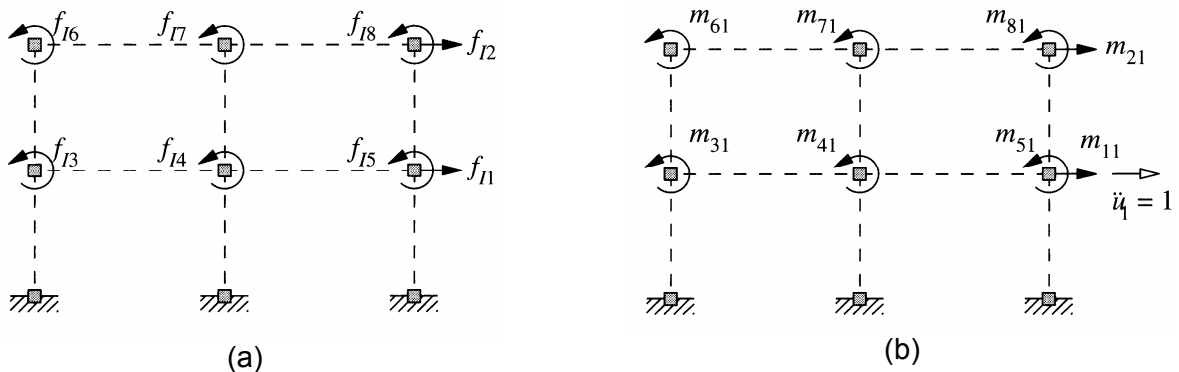


Figura 4.5. Componenta de masă a cadrului (a), coeficienții de masă pentru  $\ddot{u}_1 = 1$  (b), Chopra, 2001.

În general masa unei structuri este distribuită în întreaga structură (vezi Figura 4.6a). Totuși, în cele mai multe cazuri, masa poate fi considerată concentrată în nodurile structurii. Procedura constă din concentrarea masei elementelor la fiecare capăt al acestuia pe baza principiilor staticii, urmată de adunarea masei elemente care concură în nodurile corespunzătoare (vezi Figura 4.6b și c). În general, componentele de rotație ale maselor au o influență minoră asupra răspunsului dinamic al structurilor și sunt neglijate. Masele obținute în acest mod vor avea componente pe cele trei direcții de translație ( $x$ ,  $y$  și  $z$ ). Considerând barele structurii infinit rigide axial (ipoteză considerată și la stabilirea matricei de rigiditate), masele structurii pot fi considerate concentrate la nivelul planșeelor structurii, acționând doar pe direcția  $x$  (Figura 4.6d). Astfel, pentru exemplu din Figura 4.5, masa asociată unei accelerații unitare  $\ddot{u}_1 = 1$  este  $m_{11} = m_1$  (unde  $m_1 = m_a + m_b + m_c$ , vezi Figura 4.6c), iar  $m_{i1} = 0$  pentru  $i = 2, 3, \dots, 8$ .

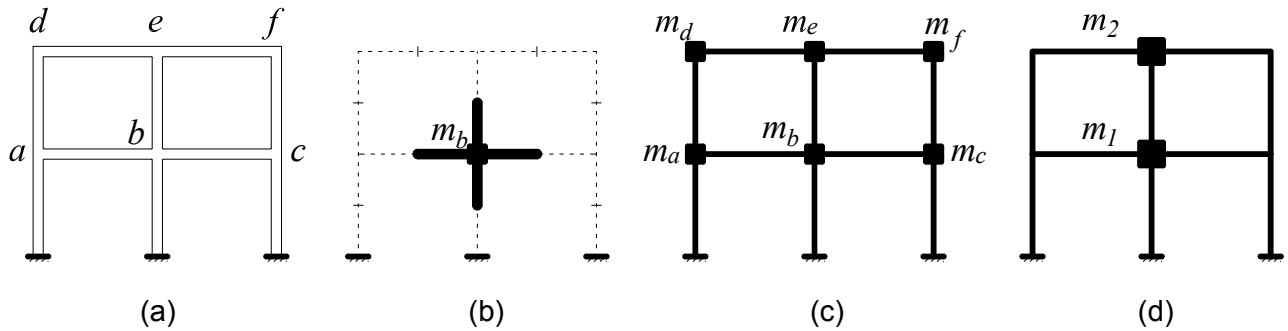


Figura 4.6. Concentrarea maselor în noduri (a-c) și la nivelul planșeelor (d).

În general, pentru mase concentrate în noduri, matricea maselor este diagonală:

$$m_{ij} = 0 \text{ pentru } i \neq j \quad \text{și} \quad m_{jj} = m_j \text{ sau } 0 \quad (4.10)$$

unde  $m_j$  este masa asociată cu un grad de translație  $j$ , și  $m_j = 0$  pentru un grad de libertate de rotație.

La structurile multietajate spațiale, numărul elementelor din matricea maselor poate fi redus considerând efectul de șaibă rigidă a planșeelor. Astfel, planșeele care posedă o rigiditate foarte mare în planul lor (cum ar fi planșeele de beton armat) sunt considerate de o rigiditate infinită în planul lor dar flexibile în afara planului. Datorită mișcării de corp rigid, deplasările orizontale (după  $x$  și  $y$ ) ale nodurilor de la nivelul unui planșeu nu sunt independente, și pot fi reduse la doar trei grade de libertate definite în centrul de greutate al fiecărui planșeu: două deplasări orizontale și o rotație față de axa verticală (vezi Figura 4.7a). În cazul în care planșeul nu poate fi considerat rigid (cazul planșeelor din lemn), masele trebuie atribuite fiecărui nod în parte, proporțional cu aria aferentă nodului respectiv (vezi Figura 4.7b).

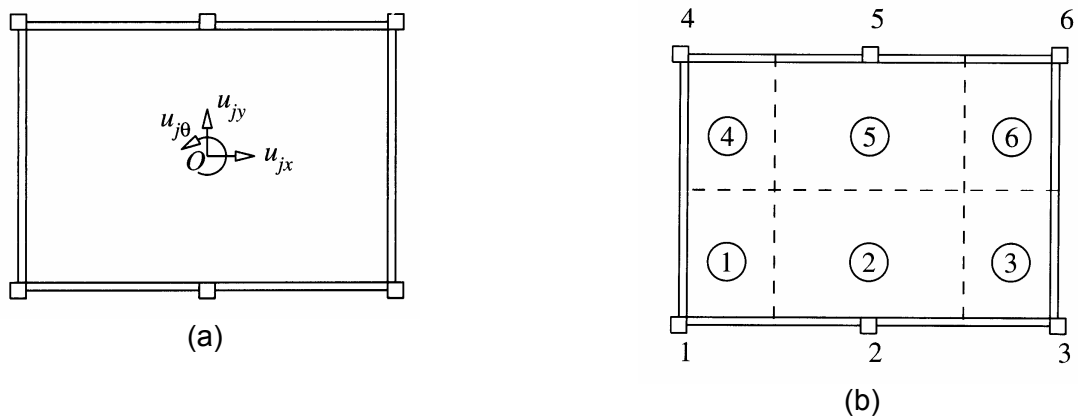


Figura 4.7. Grade de libertate pentru planșee rigide în planul lor (a); Aria aferentă pentru distribuirea masei în noduri la planșee flexibile în planul lor (b), Chopra, 2001.